

Группа _____M3306_____

Студенты [REDACTED]

Преподаватель Кокурина [REDACTED]

К работе допущен 23.11.2025

Работа выполнена 23.11.2025

Отчет принят _____

Рабочий протокол и отчет по лабораторной работе № 4

НАЧАЛА КВАНТОВЫХ ВЫЧИСЛЕНИЙ 1

Вариант 17

1. Цели работы

1. Освоение основных операций при составлении квантовых схем и их тестировании в симуляторе квантовых схем IBM Quantum (IBM Quantum Composer).
2. Разработка квантовых схем, состоящих из однокубитных вентилей, и реализация с их помощью кубитов в состояниях с заданными (произвольными) амплитудами вероятности состояний $|0\rangle$ и $|1\rangle$.

2. Задачи, решаемые при выполнении работы.

1. Ознакомиться с интерфейсом квантовой среды разработки IBM Quantum Composer.
2. Научиться создавать, редактировать и сохранять квантовые схемы различной сложности для однокубитных систем.
3. Освоить применение базовых однокубитных квантовых вентилей (H, X, Y, Z и др.) и операций измерения.
4. Освоить запуск квантовых схем на симуляторах IBM Quantum, настройку числа запусков (shots) и получение статистики результатов измерений.
5. Научиться интерпретировать полученные гистограммы, Q-sphere и другие визуализации, связывая их с теоретическими представлениями о квантовых состояниях.
6. Подобрать последовательности однокубитных вентилей, обеспечивающих получение кубита с заданными амплитудами вероятности, и экспериментально проверить корректность таких схем.

3. Объект исследования.

Квантовые состояния однокубитных систем и работа однокубитных квантовых вентилей, реализуемых в среде IBM Quantum (симулятор квантового компьютера).

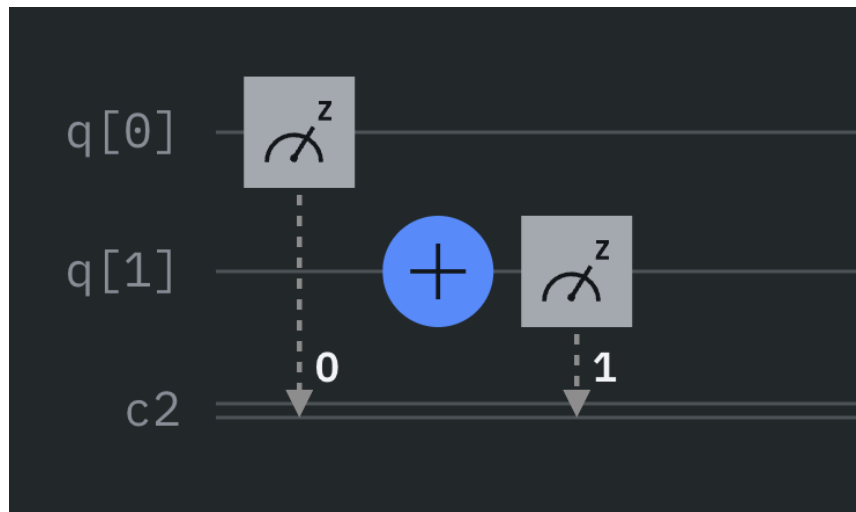
4. Метод экспериментального исследования.

1. Построение квантовых схем в IBM Quantum Composer.
2. Многократное выполнение (симуляция) квантовых схем с заданным числом запусков (shots).
3. Сбор и анализ статистики измерений (распределение результатов 0/1, гистограммы, Q-sphere и т.д.).
4. Сравнение полученных экспериментальных данных с теоретическими предсказаниями квантовой механики и расчётными значениями амплитуд вероятности.

Упражнение 1

п2

Создаем схему и выполняем в режиме симуляции с числом выполнений 1024



Job results	
Measurement outcome	Frequency
00	32
10	992

X	$ 0\rangle$	$ 1\rangle$
P(X)	.03125	.96875

п3

Построим квантовую схему, показанную ниже для перевода кубита в суперпозицию используем вентиль Адамара (H), и запустим её в режиме симуляции при разных числах запусков: 1, 2, 8, 32, 64, 128, 512, 1024, 8192.

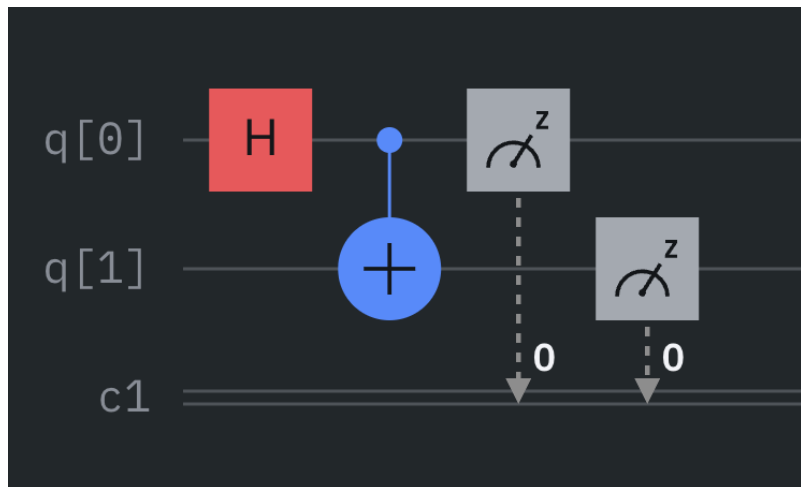
Таблица значений									
shorts	1	2	8	32	64	128	512	1024	8192
0	1	1	6	16	27	59	264	508	4167
1	0	1	2	16	37	69	248	516	4025

Таблица вероятностей									
shorts	1	2	8	32	64	128	512	1024	8192

0	1	.5	.75	.5	.421875	.460938	.515625	.493164	.508667
1	0	.5	.25	.5	.578125	.539063	.484375	.503906	.491333

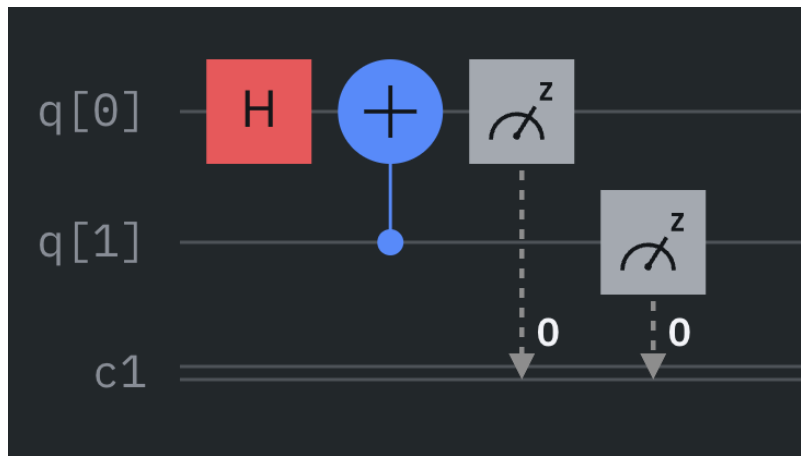
п4

Схема 1:



X	$ 0\rangle$	$ 1\rangle$
N	528	496
P(X)	.515625	.484375

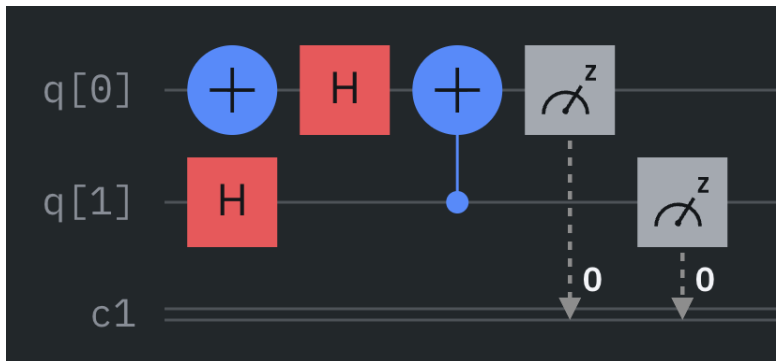
Схема 2:



X	$ 0\rangle$	$ 1\rangle$
N	962	62
P(X)	.939453	.060547

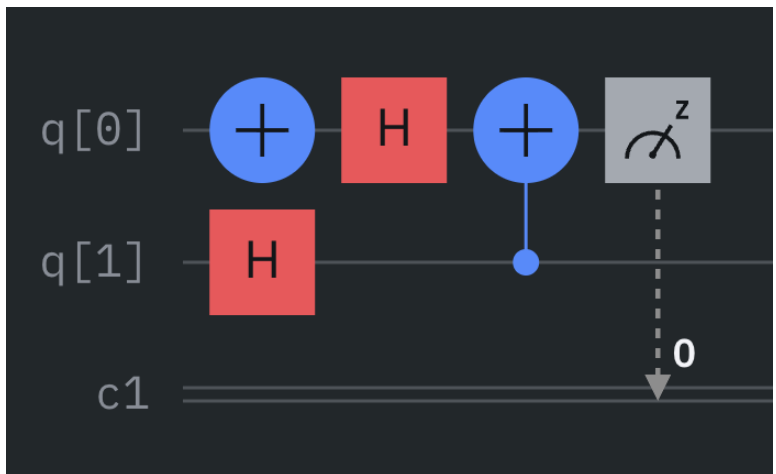
п5

Схема 3:



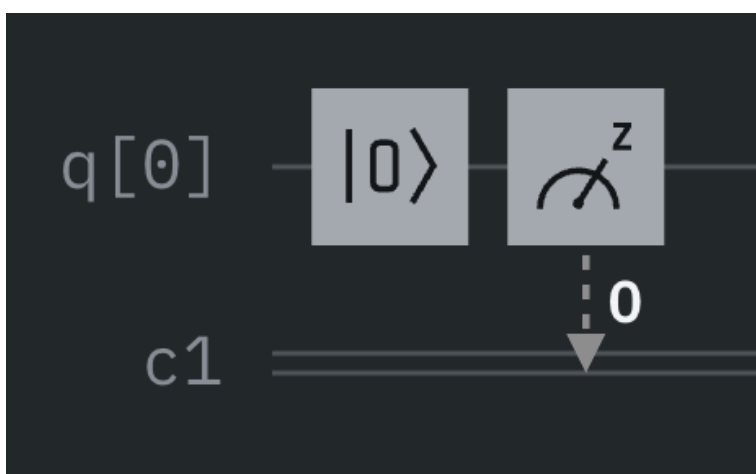
X	$ 0\rangle$	$ 1\rangle$
N	509	515
P(X)	.497070	.502930

Схема 4:

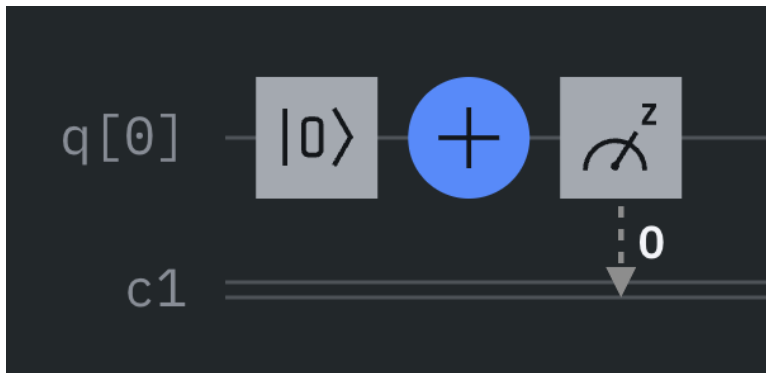


X	$ 0\rangle$	$ 1\rangle$
N	516	508
P(X)	.503906	.496094

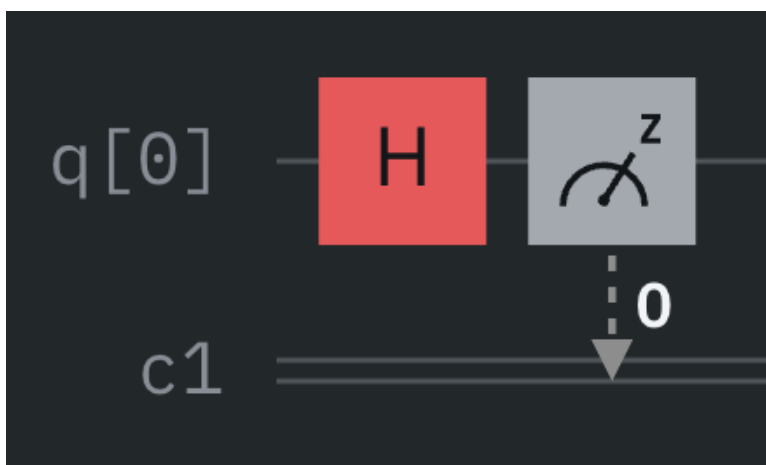
н6



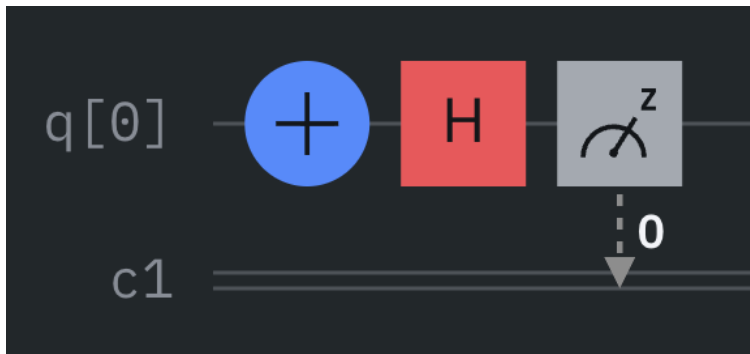
X	$ 0\rangle$	$ 1\rangle$
N	940	84
P(X)	.917969	.082031



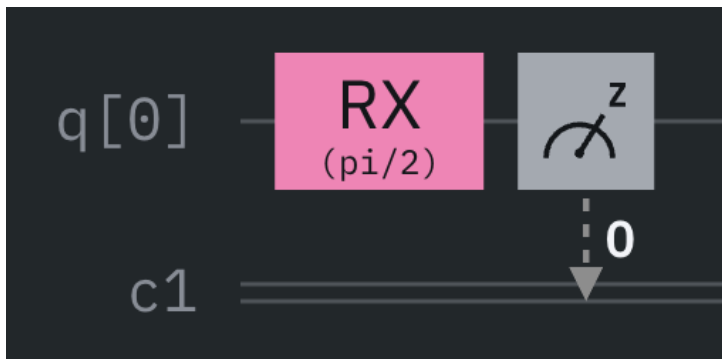
X	$ 0\rangle$	$ 1\rangle$
N	131	893
P(X)	.127930	.872070



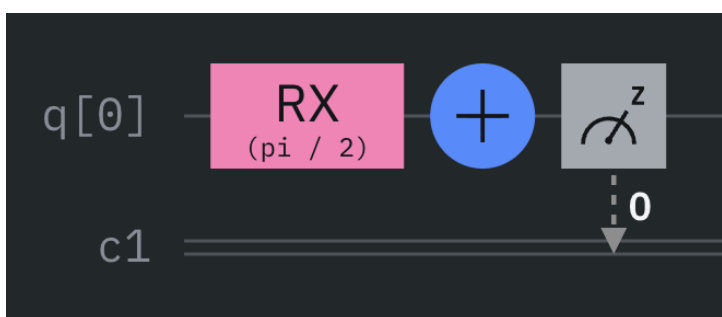
X	$ 0\rangle$	$ 1\rangle$
N	545	489
P(X)	.522461	.477539



X	$ 0\rangle$	$ 1\rangle$
N	527	497
P(X)	.514648	.485352



X	$ 0\rangle$	$ 1\rangle$
N	516	508
P(X)	.503906	.496094



X	$ 0\rangle$	$ 1\rangle$
N	531	493
P(X)	.518555	.481445

п7

Схема №1

После применения вентиля Адамара к начальному состоянию $|0\rangle$ кубит переходит в суперпозицию

$$|\Psi\rangle = H|0\rangle = \frac{1}{\sqrt{2}}(|0\rangle + |1\rangle)$$

Вероятности получить при измерении состояния $|0\rangle$ и $|1\rangle$:

$$P(|0\rangle) = |\langle 0|\Psi\rangle|^2 = \left|\frac{1}{\sqrt{2}}\right|^2 = \frac{1}{2}$$

$$P(|1\rangle) = |\langle 1|\Psi\rangle|^2 = \left|\frac{1}{\sqrt{2}}\right|^2 = \frac{1}{2}$$

Таким образом, схема создаёт равновесную суперпозицию, и в эксперименте наблюдаются почти одинаковые частоты результатов 0 и 1. Небольшие отклонения от идеальных 50% связаны с конечным числом запусков (shots) и шумами симуляции/оборудования.

Схема №2

В данной конфигурации последовательность вентилей (Hadamard + CNOT и измерения выбранного кубита) приводит к тому, что измеряемый кубит оказывается почти всегда в состоянии $|0\rangle$:

$$P(|0\rangle) \approx 1$$

$$P(|1\rangle) \approx 0$$

Оператор CNOT переводит исходную суперпозицию в такое состояние двухкубитной системы, при котором выбранный для измерения кубит практически детерминированно даёт результат 0. Полученный в эксперименте результат согласуется с теоретическим анализом схемы.

Схема №3

Данная схема снова включает последовательность Hadamard + CNOT, но в такой конфигурации, что суперпозиция не уничтожается, а приводит к образованию запутанного (белловского) состояния:

$$|\Psi\rangle = \frac{1}{\sqrt{2}}(|00\rangle + |11\rangle)$$

Теоретически

$$P(00) = P(11) = \frac{1}{2}$$

$$P(01) = P(10) = 0$$

В гистограмме результатов наблюдается распределение, близкое к равномерному между исходами 00 и 11, что подтверждает сохранение суперпозиции и появление квантовой запутанности.

Экспериментальные данные хорошо согласуются с теорией.

Схема №4

Последовательность вентилей в этой схеме полностью уничтожает суперпозицию и возвращает кубит в базисное состояние

$$|\Psi\rangle = |0\rangle$$

Из выражения для вероятностей:

$$P(|0\rangle) = 1$$

$$P(|1\rangle) = 0$$

Схема является детерминированной: во всех запусках измерение даёт результат 0. Экспериментально наблюдается 100% попаданий в состояние $|0\rangle$, что полностью совпадает с теоретическим предсказанием.

Упражнение 2

Вариант №17

п1

Для получения суперпозиции возьмём вентиль Адамара (H)

$$H|0\rangle = \frac{|0\rangle + |1\rangle}{\sqrt{2}}$$

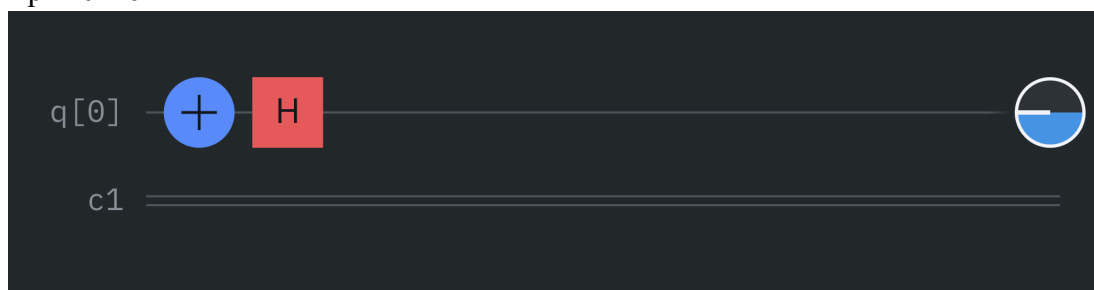


п2

Получим кубит в состоянии суперпозиции $\frac{1}{\sqrt{2}}(|0\rangle - |1\rangle)$ двумя способами

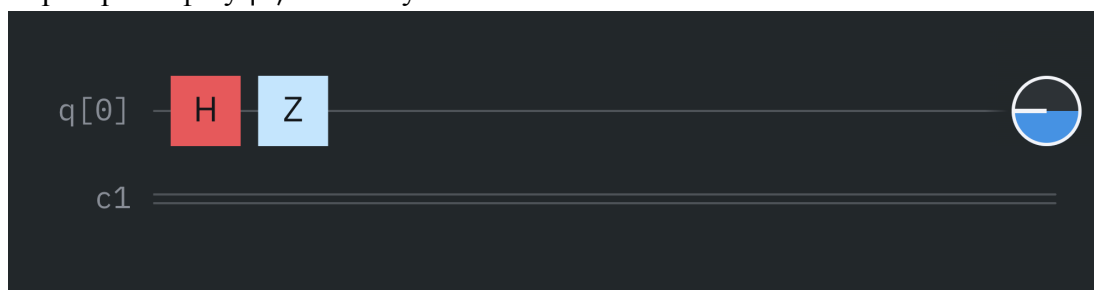
1. H после X

- Применяем X к $|0\rangle$ → получаем $|1\rangle$
- Применяем H



2. H + Z

- Создадим суперпозицию
- Перевернём фазу $|1\rangle$ используя Z



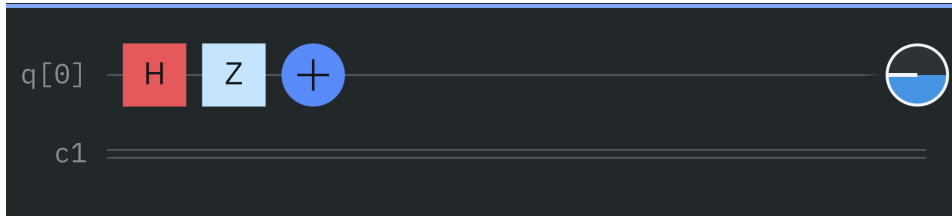
п3

Получим кубит в состояние суперпозиции $\frac{1}{\sqrt{2}}(-|0\rangle + |1\rangle)$.

Для этого применяем $H + Z + X$

$$1. |0\rangle \xrightarrow{\frac{H+Z+X}{\sqrt{2}}} \frac{|0\rangle - |1\rangle}{\sqrt{2}}$$

2. Z переворачивает знак у $|1\rangle$
3. X меняет $|0\rangle$ и $|1\rangle$ местами и даёт нужный результат



п4

Необходимо получить с помощью R_x :

$$|\Psi\rangle = \sqrt{0.1}|0\rangle + \sqrt{0.9}|1\rangle$$

Вентиль $R_x(\theta)$:

$$R_x(\theta) = \begin{pmatrix} \cos \frac{\theta}{2} & -i \sin \frac{\theta}{2} \\ -i \sin \frac{\theta}{2} & \cos \frac{\theta}{2} \end{pmatrix}$$

Действие на $|0\rangle$:

$$R_x(\theta)|0\rangle = \cos \frac{\theta}{2}|0\rangle - i \sin \frac{\theta}{2}|1\rangle$$

Сравниваем с нужным состоянием по модулям амплитуд:

$$|\cos \frac{\theta}{2}| = \sqrt{0.1}$$

$$|\sin \frac{\theta}{2}| = \sqrt{0.9}$$

Берём

$$\cos \frac{\theta}{2} = \sqrt{0.1} \Rightarrow \frac{\theta}{2} = \arccos(\sqrt{0.1})$$

$$\theta = 2\arccos(\sqrt{0.1}) \approx 2.498092$$

После RX получаем

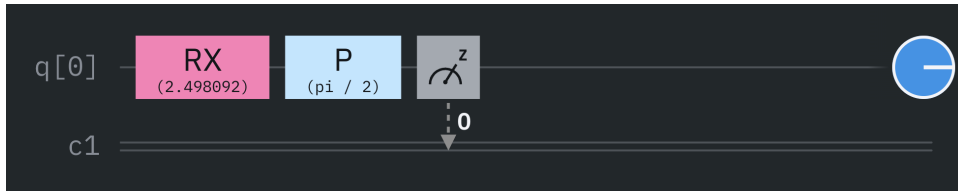
$$R_x(\theta)|0\rangle = \sqrt{0.1}|0\rangle - i\sqrt{0.9}|1\rangle$$

Фаза $-i$ у $|1\rangle$ нам мешает, поэтому добавляем фазовый вентиль $P(\frac{\pi}{2})$: он умножает амплитуду $|1\rangle$ на $e^{i\frac{\pi}{2}} = i$:

$$-i\sqrt{0.9} \cdot i = +\sqrt{0.9}$$

Итог:

$$|\Psi\rangle = \sqrt{0.1}|0\rangle + \sqrt{0.9}|1\rangle$$



Симуляция

Job results	
Measurement outcome	Frequency
0	224
1	800

$$P(|0\rangle) = \frac{224}{1024} = .21875$$

$$P(|1\rangle) = \frac{800}{1024} = .78125$$

п5

Необходимо получить с помощью R_Y :

$$|\Psi\rangle = \sqrt{0.1}|0\rangle + \sqrt{0.9}|1\rangle$$

Вентиль $R_X(\theta)$:

$$R_X(\theta) = \begin{pmatrix} \cos \frac{\theta}{2} & -\sin \frac{\theta}{2} \\ \sin \frac{\theta}{2} & \cos \frac{\theta}{2} \end{pmatrix}$$

Действие на $|0\rangle$:

$$R_X(\theta)|0\rangle = \cos \frac{\theta}{2}|0\rangle + \sin \frac{\theta}{2}|1\rangle$$

Сравним

$$\cos \frac{\theta}{2} = \sqrt{0.1}$$

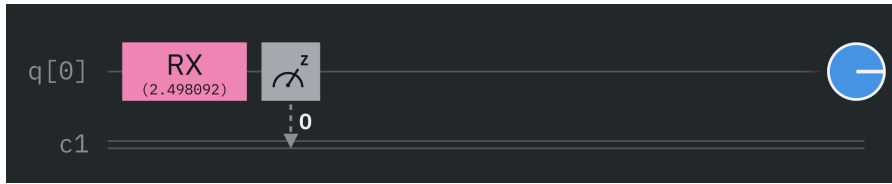
$$\sin \frac{\theta}{2} = \sqrt{0.9}$$

Этот же угол:

$$\theta = 2 \arccos(\sqrt{0.1}) \approx 2.498092$$

Тогда сразу:

$$R_X(\theta)|0\rangle = \sqrt{0.1}|0\rangle + \sqrt{0.9}|1\rangle$$



После симуляции:

$$P(|0\rangle) = \frac{218}{1024} = .212891$$

$$P(|1\rangle) = \frac{806}{1024} = .787109$$

п6

Необходимо получить с помощью U:

$$|\psi\rangle = \sqrt{0.1}|0\rangle + \sqrt{0.9}|1\rangle.$$

Общий вентиль $U(\theta, \phi, \lambda)$:

$$U(\theta, \phi, \lambda) = \begin{pmatrix} \cos \frac{\theta}{2} & -e^{i\lambda} \sin \frac{\theta}{2} \\ e^{i\phi} \sin \frac{\theta}{2} & e^{i(\phi+\lambda)} \cos \frac{\theta}{2} \end{pmatrix}$$

При $\phi = 0, \lambda = 0$ он превращается в:

$$U(\theta, 0, 0) = \begin{pmatrix} \cos \frac{\theta}{2} & -\sin \frac{\theta}{2} \\ \sin \frac{\theta}{2} & \cos \frac{\theta}{2} \end{pmatrix}$$

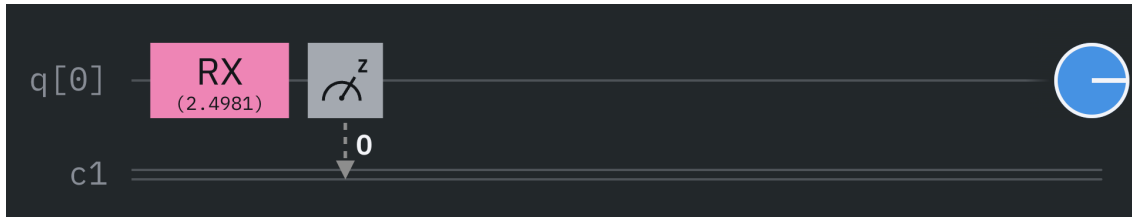
Значит можно просто взять те же параметры, что и в пункте 5:

$$\theta = 2 \arccos(\sqrt{0.1}) \approx 2.4981$$

$$\phi = 0, \lambda = 0.$$

Тогда

$$U(\theta, 0, 0)|0\rangle = \sqrt{0.1}|0\rangle + \sqrt{0.9}|1\rangle.$$



Полученные вероятности

$$P(|0\rangle) = \frac{256}{1024} = .25$$

$$P(|1\rangle) = \frac{768}{1024} = .75$$

п7

Необходимо получить с помощью R_x :

$$|\psi\rangle = \sqrt{0.1}|0\rangle - \sqrt{0.9}|1\rangle.$$

Мы уже умеем делать

$$\sqrt{0.1}|0\rangle + \sqrt{0.9}|1\rangle \text{ из пункта 4 (RX + P).}$$

Остаётся поменять знак у $|1\rangle$ Это делает фазовый вентиль Z :

$$Z|0\rangle = |0\rangle, \quad Z|1\rangle = -|1\rangle$$

Поэтому берём схему из п.4 и добавляем Z :

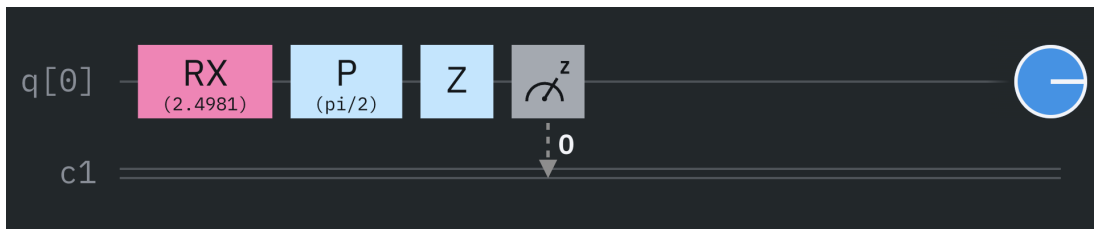
$$1. \quad RX(\theta) \text{ c } (\theta = 2.4981)$$

$$2. \quad P\left(\frac{\pi}{2}\right)$$

$$3. \quad Z$$

После шага 2 имеем: $(\sqrt{0.1}|0\rangle + \sqrt{0.9}|1\rangle)$

После Z : $\sqrt{0.1}|0\rangle - \sqrt{0.9}|1\rangle$



Полученные вероятности

$$P(|0\rangle) = \frac{216}{1024} = .210938$$

$$P(|1\rangle) = \frac{808}{1024} = .789063$$

n8

Необходимо получить с помощью R_y :

$$|\psi\rangle = \sqrt{0.1}|0\rangle - \sqrt{0.9}|1\rangle.$$

Как в пункте 5, вентиль $R_Y(\theta)$)создаёт состояние

$$\sqrt{0.1}|0\rangle + \sqrt{0.9}|1\rangle,$$

Если выбрать угол

$$\theta = 2 \arccos(\sqrt{0.1}) \approx 2.4981$$

Вентиль $R_Y(\theta)$:

$$R_Y(\theta) = \begin{pmatrix} \cos \frac{\theta}{2} & -\sin \frac{\theta}{2} \\ \sin \frac{\theta}{2} & \cos \frac{\theta}{2} \end{pmatrix}$$

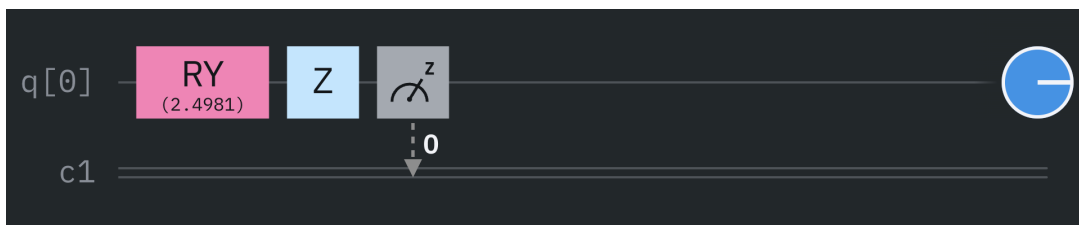
Тогда

$$RY(\theta)|0\rangle = \sqrt{0.1}|0\rangle + \sqrt{0.9}|1\rangle.$$

Чтобы получить минус добавим фазовый вентиль Z , матрица которого:

Итоговое состояние:

$$ZR_Y(\theta)|0\rangle = \sqrt{0.1}|0\rangle - \sqrt{0.9}|1\rangle$$



Полученные вероятности

$$P(|0\rangle) = \frac{208}{1024} = .203125$$

$$P(|1\rangle) = \frac{816}{1024} = .796875$$

п9

Необходимо получить с помощью U:

$$|\psi\rangle = \sqrt{0.1}|0\rangle - \sqrt{0.9}|1\rangle.$$

Из пункта 6 знаем, что вентиль $(U(\theta, 0, 0))$ полностью эквивалентен $R_Y(\theta)$:

$$U(\theta, 0, 0) = \begin{pmatrix} \cos \frac{\theta}{2} & -\sin \frac{\theta}{2} \\ \sin \frac{\theta}{2} & \cos \frac{\theta}{2} \end{pmatrix}$$

Параметры:

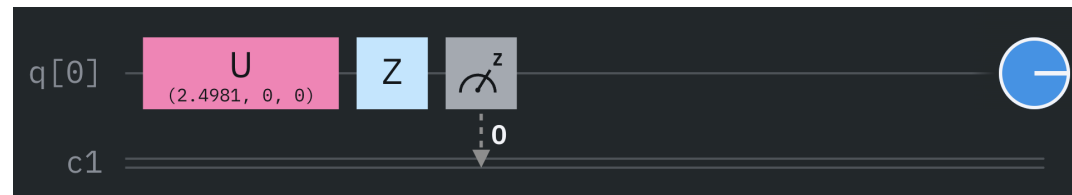
$$\theta = 2 \arccos(\sqrt{0.1}) \approx 2.4981, \phi = 0, \lambda = 0$$

Тогда:

$$U(\theta, 0, 0)|0\rangle = \sqrt{0.1}|0\rangle + \sqrt{0.9}|1\rangle.$$

Чтобы получить минус снова применим фазовый вентиль Z:

$$Z U(\theta, 0, 0)|0\rangle = \sqrt{0.1}|0\rangle - \sqrt{0.9}|1\rangle.$$



Полученные вероятности

$$P(|0\rangle) = \frac{242}{1024} = .236328$$

$$P(|1\rangle) = \frac{782}{1024} = .763672$$

п10

Необходимо получить с помощью вентиляй поворота:

$$|\psi\rangle = \sqrt{0.1}|0\rangle - \sqrt{0.9}|1\rangle.$$

Как в п. 5, используем вентиль поворота вокруг оси Y :

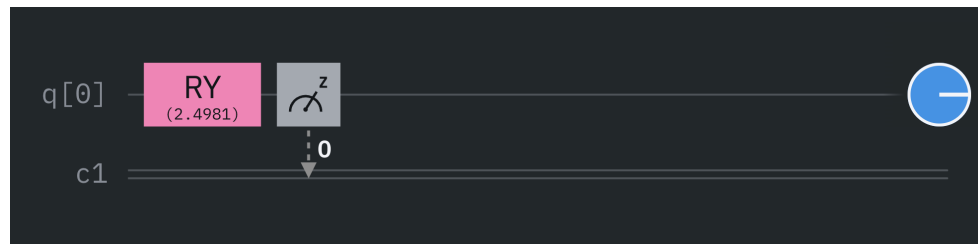
$$R_Y(\theta) = \begin{pmatrix} \cos \frac{\theta}{2} & -\sin \frac{\theta}{2} \\ \sin \frac{\theta}{2} & \cos \frac{\theta}{2} \end{pmatrix}$$

При выборе

$$\theta = 2 \arccos(\sqrt{0.1}) \approx 2.4981$$

имеем

$$RY(\theta)|0\rangle = \cos \frac{\theta}{2}|0\rangle + \sin \frac{\theta}{2}|1\rangle = \sqrt{0.1}|0\rangle + \sqrt{0.9}|1\rangle$$



Полученные вероятности

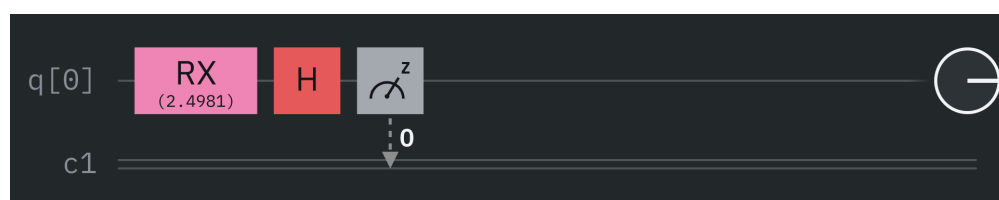
$$P(|0\rangle) = \frac{213}{1024} = .208008$$

$$P(|1\rangle) = \frac{811}{1024} = .791992$$

п11

Необходимо получить с помощью R_x :

$$|\psi\rangle = \sqrt{0.1}|0\rangle + \sqrt{0.9}|1\rangle$$



Составим схему, представленную на рисунке 23

Полученные вероятности после симуляции:

$$P(|0\rangle) = \frac{546}{1024} = 0,5332; P(|1\rangle) = \frac{478}{1024} = 0,4668$$

В пункте 4 мы уже показали, что при угле

$$\theta = 2 \arccos(\sqrt{0.1}) \approx 2.4981$$

вентиль $R_X(\theta)$ переводит состояние $|0\rangle$ в

$$RX(\theta)|0\rangle = \sqrt{0.1}|0\rangle - i\sqrt{0.9}|1\rangle$$

Теперь добавляем вентиль Адамара (H), как на рис. 23.

Применяем:

$$|\Psi_1\rangle = H|\Psi\rangle = (\sqrt{0.1} - i\sqrt{0.9})|0\rangle + (\sqrt{0.1} + i\sqrt{0.9})|1\rangle$$

Вероятности:

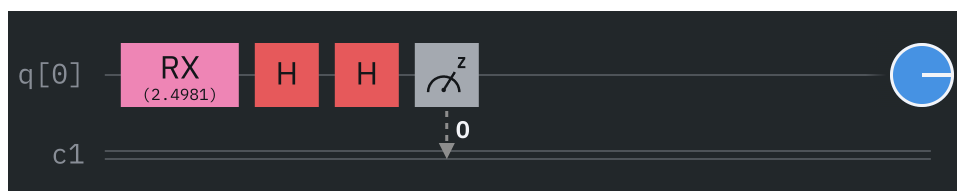
$$P(0) = \frac{|\sqrt{0.1} - i\sqrt{0.9}|^2}{2} = \frac{0.1 + 0.9}{2} = 0.5$$

$$P(1) = \frac{|\sqrt{0.1} + i\sqrt{0.9}|^2}{2} = \frac{0.1 + 0.9}{2} = 0.5$$

То есть после добавления вентиля H распределение становится равномерным

Результаты согласуются с теорией

п12



Составим схему, представленную на рисунке 24

Полученные вероятности после симуляции:

$$P(|0\rangle) = \frac{177}{1024} = 0,1143; P(|1\rangle) = \frac{907}{1024} = 0,8857$$

Необходимо получить с помощью R_x :

$$|\psi\rangle = \sqrt{0.1}|0\rangle + \sqrt{0.9}|1\rangle.$$

Применяем два H, как на рис. 24

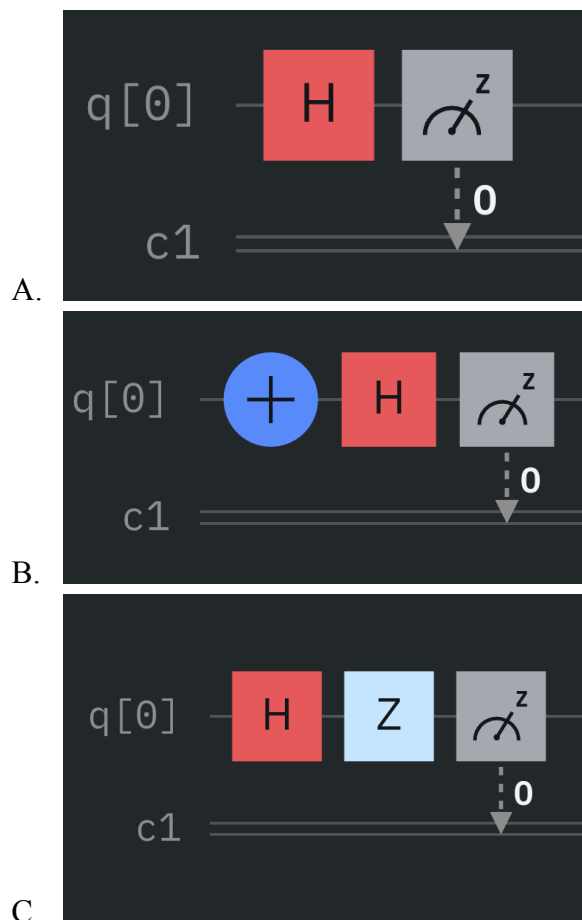
Так как $H^2 = I$, два подряд идущих H ничего не меняют.

Значит выходное состояние остаётся тем же, что после R_x :

$$P(0) = 0.1, \quad P(1) = 0.9.$$

Результаты согласуются с теорией

п13



Создаем схемы представленные на рисунках 25 - 27

Выполняем в режиме симуляции все 3 схемы, считаем и записываем в таблицу вероятности:

Результаты измерения	Вероятности		
	Схема а	Схема б	Схема с
$P(0\rangle)$	0,4792	0,5302	0,4841
$P(1\rangle)$	0,5208	0,4698	0,5159

Схема а)

Один вентиль Адамара H :

$$|0\rangle \xrightarrow{H} \frac{|0\rangle + |1\rangle}{\sqrt{2}}$$

Вероятности:

$$P(0) = P(1) = 0.5$$

Схема б)

Сначала вентиль X , затем H :

$$|0\rangle \xrightarrow{X} |1\rangle \xrightarrow{H} \frac{|0\rangle - |1\rangle}{\sqrt{2}}$$

По модулю амплитуд снова

$$P(0) = P(1) = 0.5$$

Схема с)

Сначала H , затем фазовый вентиль Z :

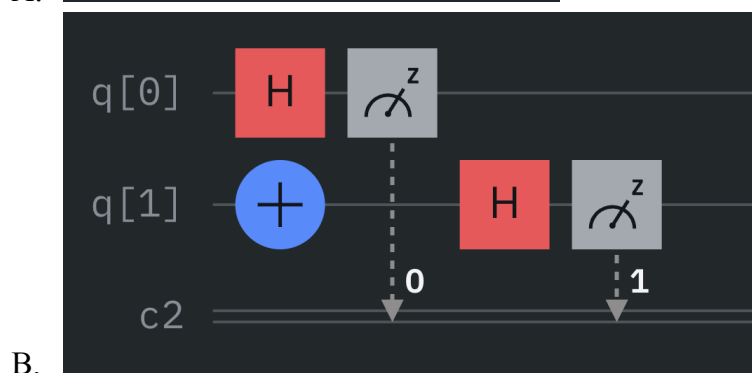
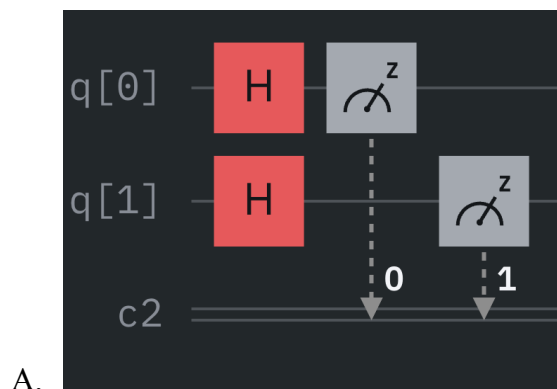
$$|0\rangle \xrightarrow{H} \frac{|0\rangle + |1\rangle}{\sqrt{2}} \xrightarrow{Z} \frac{|0\rangle - |1\rangle}{\sqrt{2}}$$

Знак у $|1\rangle$ меняется, но вероятности не зависят от фазы, значит

$$P(0) = P(1) = 0.5$$

Схемы отличаются только фазой состояния, которая не проявляется при измерении в вычислительном базисе.

Результаты согласуются с теорией



Выполняем в режиме симуляции, считаем и записываем в таблицу вероятности:

Результаты измерения	Вероятности	
	Схема а	Схема б
$P(0\rangle)$	0,4792	0,5302
$P(1\rangle)$	0,5208	0,4698

Схема а)

На оба кубита действует вентиль (H):

$$(H \otimes H) |00\rangle = \frac{1}{2} (|00\rangle + |01\rangle + |10\rangle + |11\rangle)$$

Все четыре базисных состояния имеют одинаковый модуль амплитуды (1/2), поэтому

$$P(00) = P(01) = P(10) = P(11) = 0.5$$

Схема б)

На первый кубит действует H , на второй – сначала X , затем H

После первых вентилей:

$$|00\rangle \xrightarrow{H \otimes X} \frac{|0\rangle - |1\rangle}{\sqrt{2}} \otimes |1\rangle = \frac{1}{\sqrt{2}} (|01\rangle - |11\rangle)$$

Дальше на второй кубит действует (H):

$$(H \otimes H)(|00\rangle) = (H|0\rangle) \otimes (H|0\rangle) = \frac{1}{2} (|00\rangle + |01\rangle + |10\rangle + |11\rangle)$$

то есть по модулю амплитуд результат совпадает со схемой а)

(различаются только фазы промежуточных состояний).

Следовательно, снова

$$P(00) = P(01) = P(10) = P(11) = 0.5.$$

Различия между схемами заключаются только в фазах компонент квантового состояния, а вероятности измерения совпадают.

Результаты эксперимента согласуются с теорией.